

粒状体の接点数変化について

岐阜大学大学院 福田 光治

1. 考え方

土を球状丸棒によりモデル化し、それらの構造特性を示す示験が多く研究者により提案されている。本研究もその一環で、二次元アルミ棒を対象にし、平均接点数の、変形にともなう変化を実験により考察し、理論的根拠を考えてみたものである。

2. 実験の方法

試料の積層方法はランダムによるよう注意した。径は今回は 0.7mm のアルミ棒を均等等径とした。載荷方法はP、S試験と側圧一定の2種類について行い、側圧一定試験では繰り返し実験も実施した。接点数は写真で測定し、試料の5等分点線上の、側壁から3個離れた中心部分で行はれた。

3. 実験の結果

Fig.1に ΔV と平均接点数の変化を示してある。図からS試験方法、載荷方法の如何に抱れる体積の増減に平均接点数の増減が直接対応していることがわかる。さらに $\delta=0$ とし、Pを変化させていく試験でも構造が弾性的変化として保持されるのではなく、接点数の変化とともに構造変化が弾性的塑性変化として生じていることを示している。すなわち、除荷時の変形は一般に弾性的であると考えられるが、除荷にともなう平均接点数の変化は、同様に体積変化と密接な関係にある。⁽¹⁾従って、弾性変化での接点数の変化を考慮したScottのHolleyモデルの有効性を示すものであるし、規則配列のモデルの限界を示すものと考えられる。Fig.2に接点数の測定範囲と測定線及びスベリ領域の変化を示してある。図から測定範囲はせん断領域だと考えてよいが、この領域での変化の割合は初期の接点数に比べて、最大5～6%であった。⁽²⁾混合径での両の実験では最大11%であり、この比は初期間隙比、粒度粒径によると考えられる。

4. 平均接点数の表現方法

土を骨格構造として考える場合、液相や気相の役割や凝集性としての性格をとりいれることは困難が予想される。しかし、砂礫などの大きい粒子を対象とした場合有効である。構造を多辺形の辺数により分類していく方法を以前に発表した。そこでは平均接点数 n を辺数の確率で表現する方法を示しているが、初期状態から変形し、異方性を帶びた状態に移るても $n=244(8-2)$ が適用できるか否かを実験より求めた(Fig.3)。図によると若干実測値が小さくなるが、ほぼ45度の直線上にあり、式の適用性は満足されておりと考えられる。すなわち、初期間隙比、両方粒径が異なっているにも拘らず、その影響があらわれてこないことは、式は一般に成立することを示している。このモデルが対象とするのは変形にともなう構造変化である。

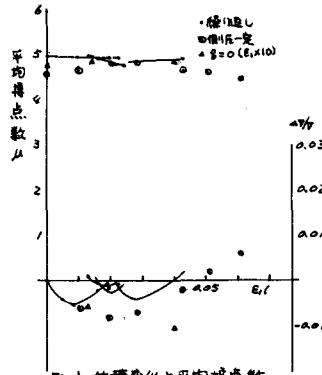


Fig.1 体積変化と平均接点数

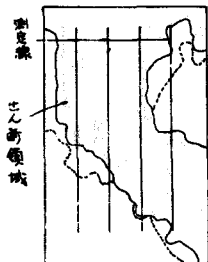


Fig.2 接点数の測定領域

従って変形理論との関連を求める必要がある。そこでは接点数が確率の関数であることに着目し、最上に μ を土質力学に導入されたエントロピーの考え方をあらわす。エントロピーを S とすると、 $S = -K \ln P$ で P は辺数の確率、 K は定数である。ただし最上は P を間隙比の分布より定義している。従つて、この辺数より定義した S が状態に対応しているか否かが問題となる。Fig.4 では実測した P より求めた $-S/K$ と式より求めた平均接点数 μ の関係を示した。図より、 $-S/K$ の同一値について P は、初期間隙比や変形経路が異なる場合も、ほぼ等しい平均接点数であることを示している。すなわち同じ $-S/K$ だとしても変形経路による P の変化はそれをそれ異なるが、状態として同一であるということである。ただし、この場合の状態を接点数、辺数により定義していることに注意しなければならぬ。しかし、平均接点数が体積変化に直線的に関係しているという事実は、粒状体の状態を近似的に表現していると考えてもおかしくないだろう。まだ、図では $-S/K$ と μ が直線関係にあることを示している。Fig.1 より体積が減少するごとに μ が増加し、従つて $-S/K$ は減少する。 $-S/K$ が μ も減少する。体積が減少することとは規則的配列となることと考えると、その一般的な意味に合致する。そこで直線式を求めてみると $\mu = 1.54(-S/K) + 6.12$ となる。図には、初期間隙比に関して得た P の分布関数より求めた値も付してある。この場合も正规分布間隙比について直線となり $\mu = 1.49(-S/K) + 6.98$ となる。この差は勾配について 3% 切片について 2% であり、式より求めた平均接点数は実測値よりもわずかに大きいこと。要は、た変形経路でも直線的であるという事実からする。近似的に等しい直線関係であるといえる。つまり、初期状態も含めて状態量としてエントロピーを考えらることを示している。

次に定式化した状態量と変形を関連させてみよう。変形を準静的等温過程と仮定する。熱力学第一法則と第二法則より、状態 I, II について $T(S_I - S_{I'}) = \int_{I'}^I dU - \int_{I'}^I PdV - \int_{I'}^I \delta dE$, T は温度、 U は内部エネルギー、 P は圧力、 V は体積、 E はエネルギー、 $dU = d(E + PV)$ である。今回用いられる諸量のなかで、 $\delta = 0$ で P を変化した試験について考えた。試験の結果を Fig.5 に示す。 $-S/K$ は P の増大とともに減少する傾向にあるが、やさぐらかより直線近似が可能である。

5. あとがき

これから他の応力経路及び混合径に拡張しながら、透水理論にみる応用を考えていきた。

参考文献 (1) Hon-Yin Ko and Ronald F. Scott "Deformation of Sand in Hydrostatic Compression" A.S.C.E. SM.3 1967 pp.132-136 (2) 福田光治「三次元粒状体の構造とその変化」1973 年度土質工学年次論文 (3) 福田光治「三次元粒状体の構造について」第 19 回土質工学研究発表会 1974 pp.85-88 (4) 山口正義「粒状体の構成要素」(6)(3)と同じ

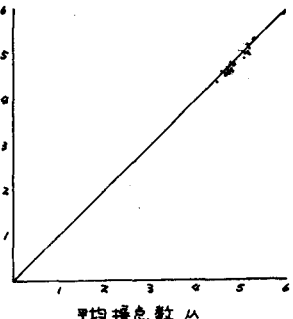


Fig.3 実測値と式より求めた平均接点数

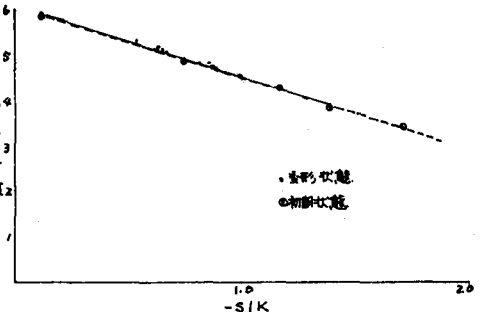


Fig.4 平均接点数と $-S/K$

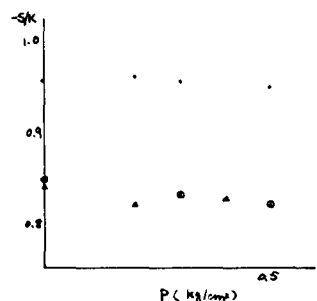


Fig.5 $-S/K \sim P$